

ЭЛЕКТРИЧЕСКИЕ И ФОТОЭЛЕКТРИЧЕСКИЕ СВОЙСТВА УЗКОЗОННЫХ ТВЕРДЫХ РАСТВОРОВ GaInSbAs : Mn

Воронина Т. И., Лагунова Т. С., Михайлова М. П.,
Сиповская М. А., Шерстнев В. В., Яковлев Ю. П.

Исследованы электрические свойства (электропроводность, коэффициент Холла и подвижность) и фотоэлектрические свойства как нелегированных, так и легированных марганцем узкозонных твердых растворов $Ga_{1-x}In_xSb_{1-y}As_y$ ($0.76 < x < 1$).

Обнаружен уровень $E_D = E_c - (0.09 - 0.1)$ эВ, который отождествляется со структурным дефектом. Легирование марганцем приводит к возникновению мелкого водородоподобного акцепторного центра с энергией активации $E_A \approx 0.025$ эВ и позволяет перекомпенсировать исходный материал и получить слои *p*-типа с концентрацией дырок $p = 10^{16} - 10^{19}$ см⁻³. Определен коэффициент сегregation марганца $k_{Mn} = 0.06 - 0.08$.

В твердых растворах, изопериодных к GaSb и InAs, экспериментально определены значения ширины запрещенной зоны. Установлено, что E_g практически не зависит от состава твердого раствора в интервале значений $0.76 < x < 1$.

Твердые растворы $Ga_{1-x}In_xSb_{1-y}As_y$ перекрывают обширный спектральный диапазон от 1.8 до 4.5 мкм и могут быть получены изопериодными как с подложками GaSb, так и InAs^[1-3]. Отличительной особенностью таких растворов является наличие большой области несмешиваемости в интервале составов $0.76 > x > 0.25$, что фактически означает возможность получения таких растворов в узком интервале составов, прилегающих либо к GaSb ($0 < x < 0.25$), либо к InAs ($0.76 < x < 1$).

В наших работах^[4, 5] были подробно исследованы электрические и фотоэлектрические свойства широкозонных твердых растворов $Ga_{1-x}In_xSb_{1-y}As_y$ в области составов, прилегающих к GaSb ($0 < x < 0.22$). Было показано, что специально не легированные слои имели *p*-тип проводимости, оставаясь аналогами *p*-GaSb, в которых ширина запрещенной зоны E_g изменялась в интервале 0.8—0.56 эВ. Эти твердые растворы успешно применяются для изготовления лазеров, фотоприемников и лавинных фотодиодов^[6-8].

В данной работе впервые изучаются электрические и фотоэлектрические свойства узкозонных твердых растворов $Ga_{1-x}In_xSb_{1-y}As_y$, обогащенных InAs ($0.76 < x < 1$). Такие твердые растворы интересны тем, что на их основе могут быть получены так называемые «разъединенные» гетеропереходы II типа, обладающие рядом уникальных электрических и фотоэлектрических свойств^[9, 10]. На основе узкозонных растворов GaInSbAs с составами, близкими к InAs, могут быть также созданы фотоприемники для диапазона 2—5 мкм, актуального для задач экологии и охраны окружающей среды.

Были исследованы электропроводность σ , коэффициент Холла R , термоэдс α , фотопроводимость $\Delta\sigma = \sigma_e - \sigma_t$ при температурах 77—300 К (в некоторых образцах и при $T = 4.2$ К) в нелегированных и легированных марганцем слоях GaInSbAs. Слои были получены методом жидкостной эпитаксии при $T = 550$ °C на различных подложках: изопериодные GaSb — на подложках *n*-GaSb : Te и *p*-GaSb и изопериодные InAs — на *n*-InAs. Толщина пленок составляла 5—6 мкм. На границе пленки *n*-GaInSbAs и подложки в случае *n*-GaSb : Te существовал большой потенциальный барьер^[10], и измерения электрических

параметров были возможны вплоть до комнатной температуры. В случае подложек *p*-GaSb и *n*-InAs высота барьера была значительно ниже, поэтому сведения об электрических параметрах можно было получить лишь по термоэдс α [по полученной нами градиуровочной кривой $\alpha=f(n, p)$] или при низкой температуре ($T < 10$ К), когда носители тока в подложке *p*-GaSb вымораживались [11].

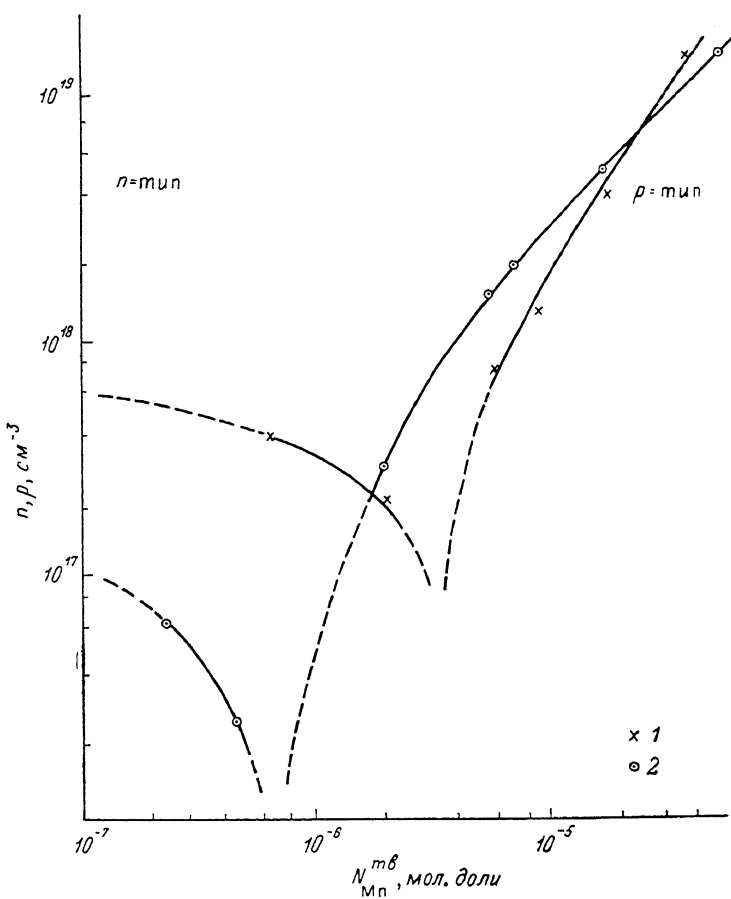


Рис. 1. Концентрация электронов n и дырок p в зависимости от мольной доли введенного марганца для образцов, выращенных на различных подложках.

1 — подложка *n*-GaSb : Te, 2 — подложка *p*-GaSb.

Проведенные измерения показали, что специально не легированные слои в отличие от широкозонных слоев GaInSbAs имели всегда *n*-тип проводимости. Для получения материала *p*-типа в качестве примеси наиболее перспективной оказалась примесь марганца, так как другие примеси или плохо растворяются в этих твердых растворах (например, кадмий) или сильно диффундируют в подложку (например, цинк). Легирование марганцем приводит к уменьшению концентрации электронов и переходу к *p*-типу проводимости (рис. 1). Концентрация носителей тока в нелегированном материале сильно зависела от материала подложки: в образцах на подложках *n*-GaSb : Te наблюдалась более высокие значения концентрации электронов ($n \geq 5 \cdot 10^{17} \text{ см}^{-3}$), в то время как на подложках *p*-GaSb и *n*-InAs концентрация электронов была на 1—2 порядка ниже ($n \approx 10^{16}—10^{17} \text{ см}^{-3}$). Инверсия знака коэффициента Холла (переход из *n*-в *p*-тип) в образцах на подложках *n*-GaSb : Te происходит при более высоких концентрациях Mn (рис. 1). Эти результаты можно объяснить увеличением концентрации электронов за счет диффузии Te из подложки аналогично широкозонным слоям *p*-GaInSbAs, выращенным на подложках *n*-GaSb : Te [4, 5].

№ образца	Подложка	$N_{Mn}^{T_B}$, мол. доли	$T = 77 \text{ K}$		$N_{D_{-3}}$, cm^{-3}	N_A , cm^{-3}	N_A^{MB} , cm^{-3}	$K = \frac{N_A(A)}{N_D(A)}$
			$n, p, \text{ см}^{-3}$	$u, \text{ см}^2/\text{В} \cdot \text{с}$				
1n	$n\text{-GaSb : Te}$	—	$5.6 \cdot 10^{17}$	3700	10^{18}	$4.4 \cdot 10^{17}$	—	0.44
2n	»	$6.6 \cdot 10^{-7}$	$4 \cdot 10^{17}$	2270	10^{18}	$6 \cdot 10^{17}$	$1.6 \cdot 10^{17}$	0.60
3n	»	$1.9 \cdot 10^{-6}$	$2.2 \cdot 10^{17}$	890	10^{18}	$7.8 \cdot 10^{17}$	$3.4 \cdot 10^{17}$	0.78
4p	»	$5.7 \cdot 10^{-6}$	$8 \cdot 10^{17}$	20	10^{18}	$1.7 \cdot 10^{18}$	$1.3 \cdot 10^{18}$	0.60
5p	»	$9.1 \cdot 10^{-6}$	$1.3 \cdot 10^{18}$	59	10^{18}	$2.3 \cdot 10^{18}$	$4.8 \cdot 10^{18}$	0.55
6p	»	$1.9 \cdot 10^{-5}$	$4 \cdot 10^{18}$	60	10^{18}	$5 \cdot 10^{18}$	$4.5 \cdot 10^{18}$	0.20
7p	»	$3.4 \cdot 10^{-5}$	$1.7 \cdot 10^{19}$	50	10^{18}	$2 \cdot 10^{19}$	$1.95 \cdot 10^{19}$	0.05
8p	$p\text{-GaSb}$	$3.4 \cdot 10^{-6}$	$3 \cdot 10^{17}$	100	$2 \cdot 10^{17}$	$5 \cdot 10^{17}$	$4 \cdot 10^{17}$	0.40
9p	$n\text{-InAs}$	$6.6 \cdot 10^{-7}$	10^{16}	200	$5 \cdot 10^{16}$	$6 \cdot 10^{16}$	$3 \cdot 10^{16}$	0.80

На рис. 2, а представлена зависимость коэффициента Холла от обратной температуры для серии образцов n - и p -типа, выращенных на подложках $n\text{-GaSb : Te}$ (характеристики образцов даны в таблице.) В исходном нелегированном

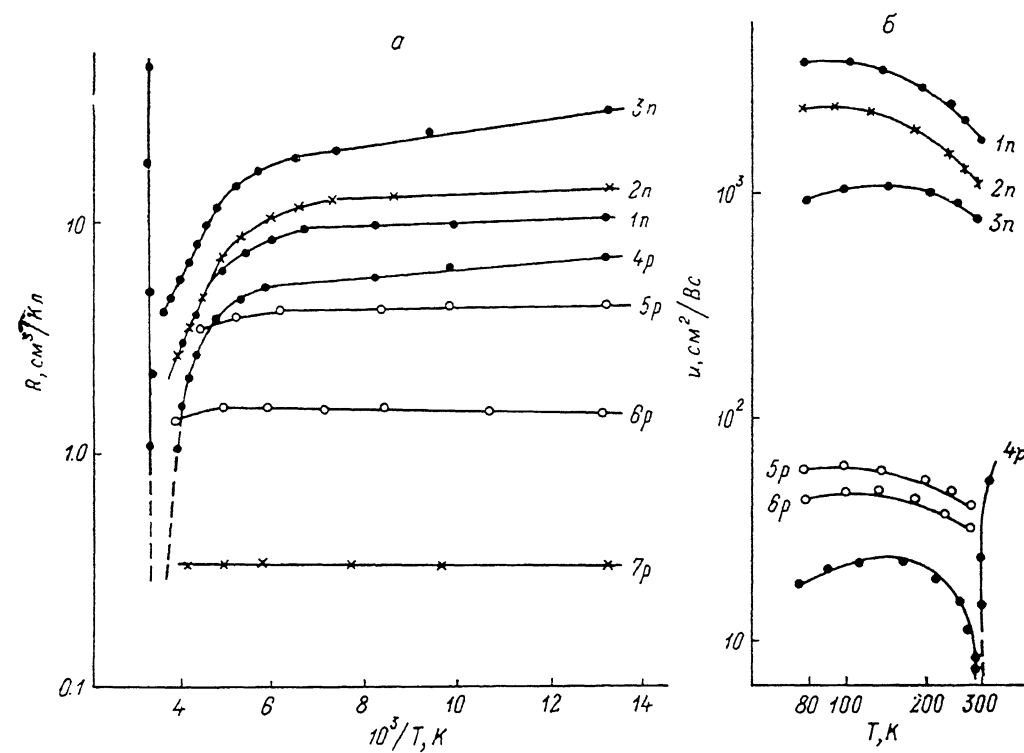


Рис. 2. Температурные зависимости коэффициента Холла (а) и подвижности (б) для образцов с различным уровнем легирования Mn, выращенных на подложке $n\text{-GaSb : Te}$.

Нумерация кривых соответствует номерам образцов в таблице.

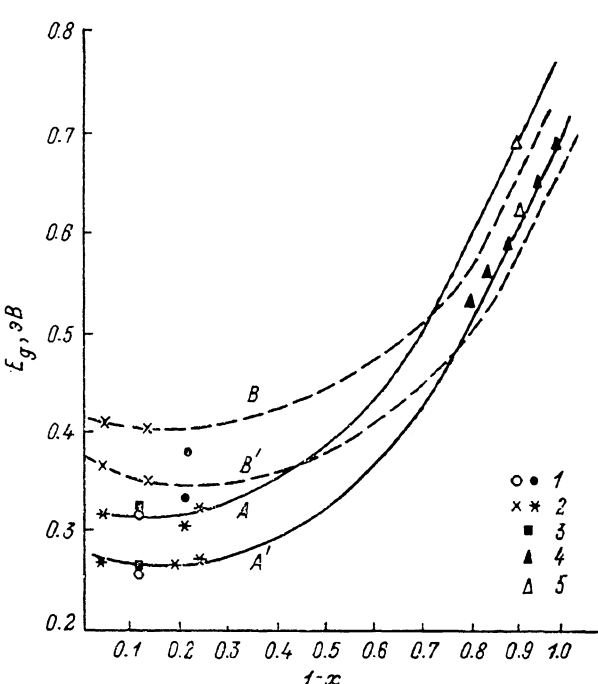
ванном образце 1n коэффициент Холла при $T < 200 \text{ K}$ практически не зависит от температуры, а при $T > 200 \text{ K}$ в зависимости $R(1/T)$ четко проявляется наклон с энергией активации $E_D \approx 0.09 \text{ эВ}$. При слабом легировании Mn в образцах n -типа (образцы 2n и 3n) в области низких температур появляется небольшой наклон $R(1/T)$ ($E_D \leq 0.005 \text{ эВ}$), а при $T > 200 \text{ K}$ наклон с энергией активации $E_D \approx 0.09 \text{ эВ}$ сохраняется. При более высоком уровне легирования Mn в образцах p -типа с концентрацией дырок $p > 10^{18} \text{ см}^{-3}$ (образцы 5p, 6p, 7p) коэффициент Холла практически не зависит от температуры, а в образцах с концентрацией дырок $p < 10^{18} \text{ см}^{-3}$ (образец 4p) при низких температурах наблюдается небольшой наклон $R(1/T)$ с энергией активации $E_A \approx 0.004 \text{ эВ}$ и вблизи комнатной температуры — переход к собственной проводимости.

Независимость коэффициента Холла от температуры объясняется большой концентрацией носителей тока и вырождением электронно-дырочного газа. Слабый наклон в температурной зависимости R ($1/T$) обусловлен активационными процессами вблизи краев зоны проводимости и валентной зоны, что определяется высокой степенью компенсации примесей в этих образцах (см. таблицу). При этом в материале n -типа найденный уровень (образцы $2n$, $3n$) связан с атомами Te, а в материале p -типа, возможно, — с примесью Mn [наблюдалась при этом $E_d \approx 0.004$ эВ (образец 4 p)]. Донорный уровень $E_{D_1} \approx 0.09$ эВ, выявленный как в нелегированных, так и в легированных образцах, вероятно, связан со структурным дефектом, присущим данному твердому раствору.

Температурная зависимость подвижности (рис. 2, б) в материале n - и p -типа при

Рис. 3. Зависимость ширины запрещенной зоны от состава твердого раствора GaInSbAs, изо-периодного к GaSb (кривые A , A') и InAs (кривые B , B').

Линии — расчетные данные [2]: A , B — 77 К; A' , B' — 300 К. Точки — экспериментальные данные: 1—3 — наши данные; 1 — из спектра фотопроводимости, 2 — из фотопоминесценции, 3 — из спектра фототока диодных структур, 4 — данные [2], 5 — данные [6].



$T < 200$ К определяется рассеянием на ионах примеси u_I и колебаниях решетки u_P ($\frac{1}{u} = \frac{1}{u_I} + \frac{1}{u_P}$). Величина подвижности сильно зависит от концентрации введенного марганца, который встраивается как акцепторная примесь. Полная концентрация ионов примеси N_I , концентрация доноров N_D и акцепторов N_A в исходном нелегированном материале определялись из ионной составляющей подвижности u_I с помощью формулы для вырожденного электронно-дырочного газа:

$$u_I = 0.2x^2 \left(\frac{m_0}{m_n^*} \right)^2 \frac{n}{N_I \left[\ln(1+b) - \frac{b}{b+1} \right]}, \quad b = 5.1 \cdot 10^{-8} \times \frac{m_0}{m_n^*} n^{1/3}$$

($x=14.3$ — диэлектрическая проницаемость, $m_n^*=0.03m_0$ — эффективная масса электронов) и соотношений $N_I = N_A^0 + N_D$, $n = N_D - N_A^0$.

Число акцепторов N_A^{Mn} , введенных марганцем, определяется как изменение концентрации носителей тока $n' = N_D - N_A^0 - N_A^{\text{Mn}}$ или $p' = N_A^0 + N_A^{\text{Mn}} - N_D$. Зависимость N_A^{Mn} от уровня легирования Mn дана в таблице. Здесь же даны полная концентрация акцепторов $N_A = N_A^0 + N_A^{\text{Mn}}$ и степень компенсации примесей $K = \frac{N_{D(A)}}{N_{A(D)}}$.

Эти результаты позволили определить коэффициент сегрегации марганца в исследуемом твердом растворе $k_{\text{Mn}} = \frac{N_{\text{Mn}}^{\text{tr}}}{N_{\text{Mn}}^*}$. Концентрация Mn в твердой фазе $N_{\text{Mn}}^{\text{tr}} = N_A^{\text{Mn}}$. Концентрация Mn в жидкой фазе рассчитывалась по стандартной формуле $N_{\text{Mn}}^* = \frac{N}{V}$, где N — число атомов Mn в навеске, V — объем исходных

компонентов шихты. Полученные значения $k_{\text{Mn}} = \frac{N_{\text{Mn}}^{\text{TP}}}{N_{\text{Mn}}^{\text{ж}}}$ изменяются в пределах 0.06—0.08.

С целью уточнения энергетической структуры запрещенной зоны узкозонных твердых растворов были исследованы их фотоэлектрические свойства, а именно фотопроводимость и фотолюминесценция легированных марганцем

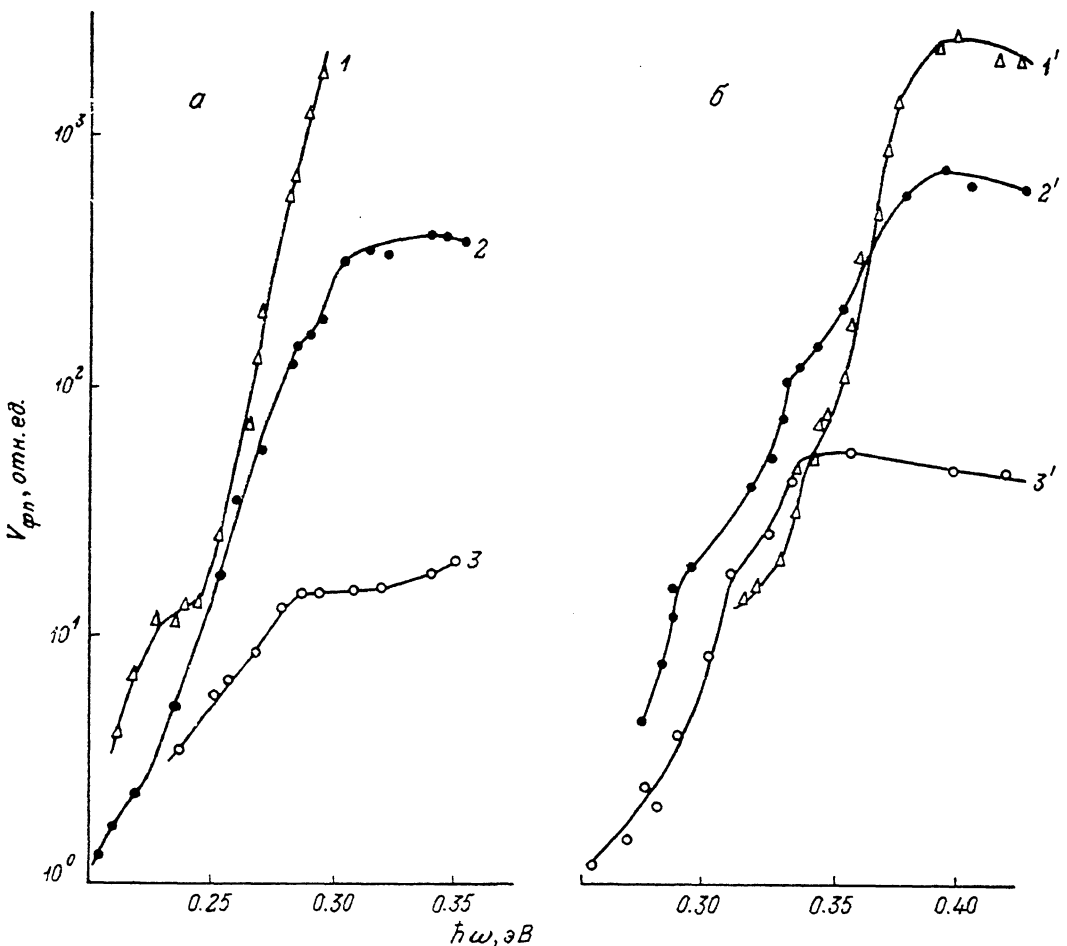


Рис. 4. Спектральные зависимости фотопроводимости для образцов 8р (а) и 9р (б) при различных температурах.

Кривые при $T, \text{ К: } 1, 1' — 77, 2 — 120, 2' — 160, 3, 3' — 230$.

эпитаксиальных слоев $\text{Ga}_{1-x}\text{In}_x\text{Sb}_{1-y}\text{As}_y$, различного состава ($0.76 < x < 1$), выращенных на подложках InAs и GaSb, а также спектральные зависимости фототока данных структур на основе таких растворов. Фотопроводимость исследовалась с помощью спектрометра ИКС-12 с использованием призмы NaCl.

На рис. 3 представлены экспериментальные данные по зависимости ширины запрещенной зоны от состава, полученные указанными выше методами, и теоретические кривые для твердого раствора GaInSbAs , изоперiodного с подложками GaSb (сплошные линии) и с InAs (штриховые). Расчетные данные взяты из работы [2] и получены по эмпирической формуле, которая может быть использована на линии составов, изоперидных как к GaSb, так и к InAs:

$$E_g = E_{g_{\text{GaSb}}} (1 - x)(1 - y) + E_{g_{\text{GaAs}}} (1 - x)y + E_{g_{\text{InAs}}} xy + \\ + E_{g_{\text{InSb}}} x(1 - y) + x(1 - x)[(1 - y)C_{\text{GaInSb}} + yC_{\text{GaInAs}}] +$$

$$+ y(1-y)[(1-x)C_{\text{GaAsSb}} + xC_{\text{InAsSb}}],$$

где $C_{\text{InAsSb}} = -0.58$, $C_{\text{GaAsSb}} = -1.2$, $C_{\text{GaInAs}} = -0.436$, $C_{\text{GaInSb}} = -0.415$.

Экспериментально определенные нами E_g довольно хорошо согласуются с расчетными данными как при 300, так и при 77 К. На этом же графике для иллюстрации представлены также экспериментальные зависимости E_g от состава для более широкозонных твердых растворов, взятые из работ [2, 6].

На рис. 4 представлены спектральные характеристики фотопроводимости для двух образцов, выращенных на различных подложках и различающихся концентрациями носителей тока: 8р — на подложке p -GaSb с концентрацией дырок $p = 3 \cdot 10^{17} \text{ см}^{-3}$ (рис. 4, а) и 9р — на подложке n -InAs с концентрацией дырок $p = 10^{16} \text{ см}^{-3}$ (рис. 4, б). Ширина запрещенной зоны E_g при 77 К, определенная по полуспаду длинноволнового края собственной фотопроводимости, составляет в этих образцах 0.319 (образец 8р) и 0.375 эВ (образец 9р). Соответственно коэффициент температурного изменения ширины запрещенной зоны составляет $3.2 \cdot 10^{-4}$ и $2.6 \cdot 10^{-4}$ эВ/К. Эти данные хорошо коррелируют с результатами, полученными из исследований фотоэлектрических свойств диодных структур при температурах 300 и 77 К.

Рассмотрим теперь фотопроводимость в примесной области спектра. Ход примесной фотопроводимости при изменении энергии кванта $\hbar\omega$ позволил найти положение энергетических уровней в запрещенной зоне. В образце 8р (рис. 4, а) на кривых, относящихся к различным температурам, в области $\hbar\omega = 0.21 - 0.23$ эВ наблюдается максимум. Фотоответ в этой области спектра, по-видимому, связан с возбуждением электронов из валентной зоны на уровень $E_{D_1} = (0.09 - 0.1)$ эВ, расположенный в верхней половине запрещенной зоны, поскольку уровень Ферми в этом дырочном образце находится в непосредственной близости к валентной зоне. Этот же уровень проявляется и в образце 9р, выращенном на подложке n -InAs: на рис. 4, б отчетливо видны переходы при $\hbar\omega \approx 0.25$ эВ (кривая 3', $T = 230$ К) и 0.27—0.28 эВ (кривая 2', $T = 120$ К). Из температурных зависимостей коэффициента Холла в эпитаксиальных слоях, выращенных на подложках n -GaSb: Те при $T > 200$ К, были определены донорные уровни с такими же значениями энергии активации. Поскольку энергетическое положение уровня $E_{D_1} = (0.09 - 0.1)$ эВ не зависит от материала подложки и от степени легирования марганцем, можно сделать вывод, что он связан с природным структурным дефектом в данном твердом растворе.

Дальнейшее сравнение указанных выше образцов в области примесной фотопроводимости показывает, что в твердых растворах GaInSbAs, выращенных на подложках InAs, характеризующихся более низкой концентрацией носителей тока ($p = 10^{16} \text{ см}^{-3}$, образец 9р), наблюдается еще один максимум, расположенный вблизи края собственного поглощения при $\hbar\omega = 0.335 - 0.35$ эВ. Появление этого более коротковолнового пика может быть связано с возбуждением электронов с мелкого уровня $E_A \approx E + 0.025$ эВ, который, по-видимому, связан с примесями Mn (для сравнения: энергетическое положение уровня Mn в InAs $E_A = 0.028$ эВ [12]). В данном случае Mn, имея два валентных электрона на внешней s-оболочке, может замещать в решетке GaInSbAs трехвалентный атом, образуя водородоподобный центр. Известно, что энергия активации мелких водородоподобных центров E_A уменьшается по мере увеличения концентрации примесей по закону [13]: $E_A = E_0(1 - \alpha N_A^{1/3})$, где $E_0 = 13.5 \frac{m^*}{z^2} = 0.027$ эВ, $\alpha = 10^{-6}$ см. Увеличение концентрации N_A за счет введенного Mn приводит к уменьшению энергии активации примесей, что и наблюдается экспериментально при исследовании коэффициента Холла (рис. 2, образец 4р) и фотопроводимости (рис. 4, а, образец 8р), и к полному перекрытию их с валентной зоной при $N_A > 2 \cdot 10^{18} \text{ см}^{-3}$ (рис. 2, образцы 6р, 7р).

Таким образом, в результате проведенных электрических и фотоэлектрических исследований твердых растворов GaInSbAs получены следующие результаты.

1. Во всех исследуемых образцах твердых растворов GaInSbAs независимо от материала подложки и уровня легирования обнаружен уровень с энергией

активации $E_{D_1} = E_c - (0.09 - 0.1)$ эВ, который отождествляется со структурным дефектом материала.

2. Показано, что Mn образует в твердом растворе GaInSbAs водородоподобный акцепторный центр с энергией активации $E_A = 0.025$ эВ.

3. Легирование Mn позволяет перекомпенсировать исходный материал и получить слой *p*-типа с концентрацией дырок $p = 10^{16} - 10^{19}$ см⁻³. Коэффициент сегрегации Mn равен 0.06—0.08.

4. В твердых растворах GaInSbAs, изопериодных к GaSb и InAs, определены ширина запрещенной зоны и коэффициент ее температурного изменения. Выявлено удовлетворительное согласие полученных экспериментальных результатов с расчетными данными по зависимости ширины запрещенной зоны от состава твердого раствора.

Список литературы

- [1] Бочкарев А. Э., Долгинов Л. М., Дружинина Л. В. и др. // Изв. АН СССР. Сер. неорг. матер. 1983. Т. 19. В. 1. С. 13—18.
- [2] De Winter J. C., Pollack M. A., Strivastava A. K., Zyskind J. L. // J. Electron. Mater. 1985. V. 4. N 6. P. 729—747.
- [3] Барапов А. Н., Джуртганов Б. Е., Именков А. Н., Рогачев А. А., Яковлев Ю. П. // Письма ЖТФ. 1986. Т. 12. В. 11. С. 664—668.
- [4] Барапов А. Н., Дахно А. Н., Джуртганов Б. Е., Лагунова Т. С., Сиповская М. А., Яковлев Ю. П. // ФТП. 1990. Т. 24. В. 1. С. 98—103.
- [5] Барапов А. Н., Воронина Т. И., Дахно А. Н., Джуртганов Б. Е., Лагунова Т. С., Сиповская М. А., Яковлев Ю. П. // ФТП. 1990. Т. 24. В. 6. С. 997—1000.
- [6] Барапов А. Н., Джуртганов Б. Е., Именков А. Н., Рогачев А. А., Шерняков Ю. Н., Яковлев Ю. П. // ФТП. 1986. Т. 20. В. 12. С. 2217—2221.
- [7] Андреев И. А., Барапов А. Н., Данильченко В. Г., Афраилов М. А., Мирсагатов М. А., Михайлова М. П., Яковлев Ю. П. // Письма ЖТФ. 1986. Т. 12. В. 21. С. 1311—1315.
- [8] Андреев И. А., Барапов А. Н., Афраилов М. А., Михайлова М. П., Марьинская Н. Н., Яковлев Ю. П. // Письма ЖТФ. 1989. Т. 15. В. 17. С. 71—76.
- [9] Sai-Halasz, Tsu R., Esaul L. // Appl. Phys. Lett. 1977. V. 30. N 10. P. 651—654.
- [10] Афраилов М. А., Барапов А. Н., Дмитриев А. П., Михайлова М. П., Сморчкова Ю. П., Тимченко И. Н., Шерстнев В. В., Яковлев Ю. П., Яссневич И. Н. // ФТП. 1990. Т. 24. В. 8. С. 1397—1406.
- [11] Барапов А. Н., Воронина Т. И., Лагунова Т. С., Тимченко И. Н., Чугуева З. И., Шерстнев В. В., Яковлев Ю. П. // ФТП. 1989. Т. 23. В. 5. С. 780—786.
- [12] Андрианов Д. Г., Карагаев В. В., Лазарева Г. М., Муравлев Ю. Б., Савельев А. С. // ФТП. 1977. Т. 11. В. 7. С. 1252—1259.
- [13] Pearson G. Z., Bardeen. // J. Phys. Rev. 1949. V. 75. N 5. P. 865—867.

Физико-технический институт
им. А. Ф. Иоффе АН СССР
Ленинград

Получена 2.10.1990

Принята к печати 9.10.1990